

بررسی آزمایشگاهی تأثیر میزان مواد ریزدانه موجود در مصالح فیلتر بر عملکرد سیستم خاک-فیلتر

علیرضا اردکانی^۱، سید شهاب الدین یثربی^{۲*}

دريافت مقاله: ۸۸/۱۱/۷ پذيرش مقاله: ۹۰/۵/۵

چکیده

فیلتر بحرانی در سدهای خاکی، نقش حفاظت از خاک هسته را در برابر فرسایش دارد. انتخاب مشخصات فیلتر مناسب برای پروژه که هم نیاز طرح را پاسخ دهد و هم به لحاظ اقتصادی جوابگو باشد، مسائل فنی و اقتصادی مهمی را پیش روی مهندسان قرار داده است. از آنجا که روش‌های آزمایشگاهی می‌توانند ویژگی‌های متعددی از سیستم خاک-فیلتر را تحت پوشش قرار دهند، به عنوان روش‌هایی مطمئن برای بررسی عملکرد فیلتر می‌باشند. آزمایش فیلتر مانع فرسایش (NEF) یکی از کامل‌ترین و جامع‌ترین روش‌ها برای کنترل فیلتر مورد استفاده در سدهای خاکی است. اغلب معیارهای طراحی فیلتر و بسیاری از تحقیقات انجام شده برای بررسی منحنی دانه‌بندی فیلتر، صرفاً به بررسی اثر پارامتر D_{15} فیلتر پرداخته‌اند و کمتر به بررسی ذرات ریزتر از D_{15} فیلتر و ریزدانه عبوری از الک #۲۰۰ پرداخته شده است. در این تحقیق ۲۴ آزمایش NEF بر روی دو گروه فیلتر، که هر گروه دارای فیلترهایی با منحنی دانه‌بندی یکسان در ذرات بزرگ‌تر از D_{15} و دانه‌بندی مختلف در ذرات کوچک‌تر از D_{15} می‌باشند، انجام شده است. نتایج آزمایش‌ها نشان می‌دهد برخلاف معیارهای موجود، میزان مواد ریزدانه و ذرات کوچک‌تر از D_{15} موجود در فیلتر، می‌تواند تاثیر قابل ملاحظه‌ای بر بهبود یا تضعیف عملکرد فیلتر در توقف فرسایش داشته باشد.

کلید واژه‌ها: سد خاکی، فیلتر، آزمایش NEF، ذرات کوچک‌تر از D_{15} ، ریزدانه

۱. دانشجوی دکتری مهندسی عمران-مکانیک خاک و پی، دانشگاه تربیت مدرس

۲. دانشیار دانشکده مهندسی عمران و محیط زیست دانشگاه تربیت مدرس

* مسئول مکاتبات

مقدمه

گرفته شد و به دنبال آن آزمایش فیلتر مانع فرسایش (No Erosion Filter Test, NEF) توسط آن محققین ارائه گردید. برخلاف سایر آزمایش‌های مطرح در مورد سدهای خاکی، آزمایش فیلتر مانع فرسایش در مراجعی همچون ASTM و غیره ذکر نشده و روش واحد و استانداردی، برای انجام آن در دسترس نیست. اما این آزمایش مورد تأیید موسسات بزرگی همچون کمیته بین‌المللی سدهای بزرگ (ICOLD) و اداره داخلی آبادانی ایالات متحده (USBR) قرار گرفت (سروش و طباطبایی، ۱۳۸۵). این موسسات همواره برای اطمینان از صحت عملکرد فیلتر، استفاده از این آزمایش را توصیه می‌نمایند.

آزمایش فیلتر مانع فرسایش NEF

Sherard et al. (1984) در پایان مطالعات جامع خود پیرامون فیلترها، آزمایش فیلتر مانع فرسایش یا NEF را ارائه کردند. این آزمایش علاوه بر تکرار پذیری، توانایی خوبی در ارزیابی عملکرد دارد. این آزمایش به صورت کامل در مقاله Sherard and Dunnigan (1989) منعکس شده است. نمای کلی و ابعاد دستگاه آزمایش در شکل ۱ آمده است. دستگاه از یک استوانه پلاستیکی به عنوان سولول اصلی تشکیل شده که دارای دو سرپوش بالایی و پایینی است و شیرهای ورود و خروج آب و هوا نیز بر روی آنها تعییه شده است. در داخل سولول به ترتیب از پایین زهکش شنی، فیلتر مورد آزمایش که تحت سرباری معادل ۱۰ کیلوگرم و ارتعاش همزمان به تراکم نسبی حدود ۸۰-۱۰۰ درصد رسیده، خاک هسته که در شرایط نزدیک به رطوبت بهینه و دانسیته ماکریم متراکم شده و در نهایت لایه زهکش شنی قرار می‌گیرد. شرایط بحرانی یا ترک در هسته با یک سوراخ به قطر ۱ میلی‌متر برای خاک ریزدانه و ۵ تا ۱۰ میلی‌متر برای خاک درشت‌دانه مدل می‌شود.

رگاب و فرسایش داخلی از مهم‌ترین عوامل خرابی در سدهای خاکی بزرگ می‌باشند به طوری که تقریباً دو درصد سدهای خاکی با ارتفاع بیش از ۱۵ متر این پدیده را تجربه کرده‌اند (Fell et al., 2003). از آنجایی که وظیفه فیلتر، محافظت سد خاکی در برابر فرسایش می‌باشد، اساسی‌ترین بخش سد بعد از هسته، قلمداد می‌شود.

بنابراین با توجه به اهمیت نقش فیلتر در اینمی سدهای خاکی و همچنین ملاحظات اقتصادی ناشی از هزینه‌های مرافق تولید فیلتر در حجم وسیع برای یک سد، طراحی فیلتر مناسب مدت‌ها است که ذهن پژوهشگران و موسسات مختلف را به خود معطوف کرده است. شروع مطالعات فیلتر از دهه ۱۹۶۰ می‌باشد، که ترازاقی معیار معروف اندازه دانه‌ها را برای فیلتر ارائه داد (Sherard et al., 1984).

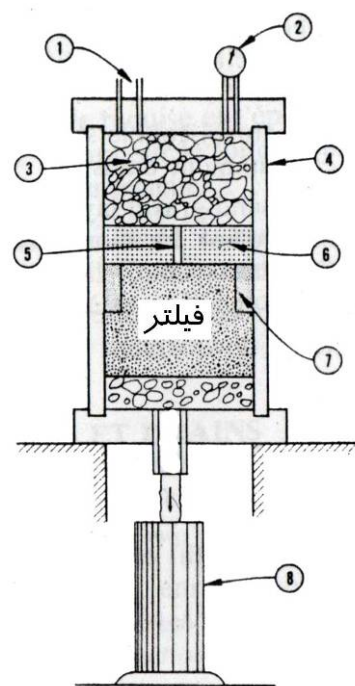
مطالعات فیلتر در دو گروه عمده مطالعات عددی و آزمایشگاهی ادامه پیدا کرده است. از آنجا که روش‌های آزمایشگاهی می‌توانند عوامل متعددی از سیستم خاک- فیلتر را تحت پوشش قرار دهند و با توجه به پیچیدگی‌های مربوط به مدل‌سازی عددی به ویژه در مورد خاک‌های چسبنده، این روش‌ها مناسب‌ترین روش برای بررسی عملکرد فیلتر می‌باشند (یثربی و آزاد، ۲۰۰۴ و ۱۳۸۶). نحوه مطالعات آزمایشگاهی بسیاری از محققین به این صورت بوده که فیلتر و خاک مینا را درون یک سولول قرار می‌دادند، و به بررسی عملکرد فیلتر تحت تراوش می‌پرداختند. با توجه به لزوم در نظر گرفتن ترک‌خوردگی هسته در عملکرد فیلتر، مطالعات فیلتر در دهه ۱۹۸۰ توسط شراردد و همکاران دچار تحولات اساسی گردید. به طوری که از آن زمان مفهوم فیلتر بحرانی، که لازم است از فرسایش خاک مینای ترک خورده، تحت جریان شدید ناشی از جریان متمرکر جلوگیری کند، گسترش یافت (Sherard & Dunnigan, 1989). به طوری که از آن زمان شیار یا سوراخ برای مدل کردن ترک خوردگی هسته، در نظر

است. بنا بر این فیلتری موفق است که قطر سوراخ موجود در هسته آن تقریباً بدون تغییر باقی بماند (Sherard and Dunnigan, 1989).

معیارهای طراحی فیلتر

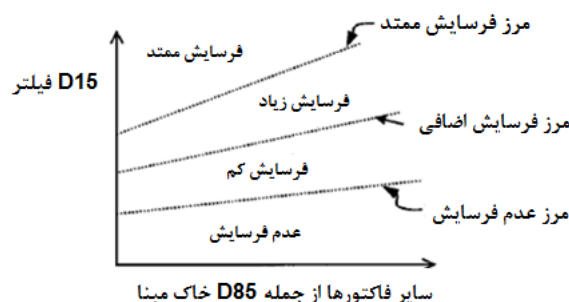
با توجه به اهمیت موضوع، محققین زیادی تلاش کرده‌اند تا معیارهای مناسبی را در انتخاب فیلتر پیشنهاد دهند. جدول ۱ تعدادی از این معیارها را نشان می‌دهد. همان‌طور که در این جدول مشاهده می‌شود، اکثر معیارهای ارائه شده وابسته به D₁₅ فیلتر می‌باشد و گاهی این معیارها با هم تفاوت زیادی دارند.

Foster and Fell (2001) در تحقیقات خود با این مسئله مواجه شدند که «چرا با وجود عدم رضایت از مشخصات فیلتر برخی از سدها با آزمایش NEF، آن سدها دچار مشکل نشده‌اند». آنها آزمایش NEF را به عنوان بهترین آزمایش برای پیدا کردن مرز مانع فرسایش پذیرفتند، ولی پس از انجام آنالیزهای آماری، مرزهای دیگری را نیز برای فرسایش بیان کردند. این مرزها به طور شماتیک در شکل ۲ نمایش داده شده است. بر این اساس با توجه به اندازه D₁₅ فیلتر و برخی از مشخصات خاک مبنا (مانند D₈₅) یک فیلتر می‌تواند باعث عدم فرسایش، فرسایش کم، فرسایش زیاد و یا فرسایش ممتد خاک مبنا می‌گردد.



۱. ورودی آب با فشار
۲. فشارسنج
۳. زهکش بالایی
۴. استوانه پلاستیکی (قطر ۱۰۰ میلی‌متر برای خاک‌های ریزدانه و قطر ۲۸۰ میلی‌متر برای خاک‌های درشت‌دانه)
۵. سوراخ ایجاد شده در خاک مبنا (۱ میلی‌متر برای خاک ریزدانه و ۵-۱۰ میلی‌متر برای خاک‌های درشت‌دانه)
۶. خاک مبنا (به ضخامت ۲۵ میلی‌متر برای خاک‌های ریزدانه و ۱۰۰ میلی‌متر برای خاک‌های درشت‌دانه)
۷. مصالح جداری
۸. ظرف جمع‌آوری آب برای تعیین دبی خروجی

شکل ۱- دستگاه آزمایش NEF (یثربی و آزاد، ۱۳۸۶)



شکل ۲- نمایش شماتیک نواحی و مرزهای فرسایش (Foster & Fell, 2001)

پس از اشبع کردن نمونه و خروج هوای موجود، با ورود آب با فشاری معین آزمایش شروع شده و حدود ۱۰ دقیقه طول می‌کشد و در پی آن میزان تغییرات قطر سوراخ و تغییرات دبی و شفافیت آب خروجی مورد بررسی قرار می‌گیرد. مهم‌ترین خروجی این آزمایش تغییرات قطر سوراخ می‌باشد، به طوری که هر چه افزایش قطر سوراخ کمتر باشد، حاکی از این است که فیلتر در کنترل فرسایش عملکرد بهتری داشته

جدول ۱ - خلاصه‌ای از معیارهای محققین مختلف برای طراحی فیلتر (Lone et al., 2005)

ملاحظات	C_{uF}	D_{15}	D_{50} / d_{50}	D_{15} / d_{85}	D_{15} / d_{15}	سال	محقق
منحنی دانه بندی فیلتر و خاک مبنا موازی باشد برای خاک مبنای دارای بیش از ۸۵٪ عبوری از الک #۲۰۰ هستند.	<۲	<۴	>۴	۱۹۲۹	Terzaghi
برای خاک مبنای دارای بیش از ۸۵٪ عبوری از الک #۲۰۰ هستند. برای خاک مبنای دارای کمتر از ۱۵٪ عبوری از الک #۲۰۰ هستند.	≤۹	...	۱۹۸۵	Sherard et al
برای خاک مبنای دارای ۴۰٪ تا ۸۵٪ عبوری از الک #۲۰۰ هستند. برای خاک مبنای دارای #۲۰۰ درصد عبوری از الک #۲۰۰ هستند. (A) درصد عبوری از الک ۵ درصد $D_{15}/d_{50} < 4$ و $D_5/d_{50} < 5$	≤۶	۱۹۸۵	Kenney et al
مقدار ریزدانه عبوری از الک #۲۰۰ کمتر از ۵ درصد باشد. مقدار نفوذپذیری فیلتر بیش از ۲۵ برابر خاک مبنا باشد.	<۱۰	<۵	>۵	۱۹۸۷	USBR
خاک مبنا دارای نسبت $d_{75}/d_{95} \leq 7$ باشد.	۵/۵ تا ۰/۵	...	۱۹۸۹	Honjo and Veneziano
...	۱۹۹۶	Inderaratna et al
$d_{85}=40-60\mu m$ برای $d_{85}=60-90\mu m$ برای	<۵ - ۵/۵	...	۱۹۹۶	Inderaratna et al
برای خاک مبنای دارای بیش از ۸۵٪ عبوری از الک #۲۰۰ هستند. برای سایر خاک‌های مبنا مشابه اما طبقه‌بندی خاک مبنا قدری متفاوت است.	<۴-۵	...	۲۰۰۰	Foster and Fell Sherard

 C_{uF} : ضریب یکنواختی فیلتر D_x : اندازه‌ای که X درصد وزنی دانه‌های فیلتر از آن کوچک‌تر هستند. C_{uB} : ضریب یکنواختی خاک مبنا d_x : اندازه‌ای که X درصد وزنی دانه‌های خاک مبنا از آن کوچک‌تر هستند.

متوجه (USDA) برای نفوذپذیری فیلتر، معیارهای زیر را داشته است:

$$\frac{D_{15Filter}}{D_{15Base}} \geq 4 \quad (1)$$

$$D_{15Filter} \geq 0.1mm \quad (2)$$

همچنین در این معیار برای کنترل نفوذپذیری و جلوگیری از استعداد ترک خورده‌گی فیلتر، مواد ریزدانه موجود در آن را به ۵ درصد محدود می‌نماید. با توجه به این معیار تأثیر میزان مواد ریزدانه بر عملکرد فرسایش آن کمتر مورد توجه قرار گرفته است.

برای کنترل اینکه فیلتر چسبنده نشده باشد و قابلیت حفظ ترک را نداشته باشد از آزمایش «قلعه ماسه‌ای» که توسط

معیارهای نفوذپذیری، درصد ریزدانه و چسبندگی فیلتر

شرط فیلتر مناسب، علاوه بر جلوگیری از فرسایش خاک مبنا، داشتن نفوذپذیری کافی می‌باشد تا مانع بالارفتن نیروهای تراوش و فشار آب شود. برخی از معیارهای محققین مختلف در این‌باره توسط نسبت D_{15} فیلتر به D_{15} خاک مبنا در جدول ۱ ارائه شد. ICOLD در بولتن ۹۵، در مورد معیار نفوذپذیری فیلتر بیان می‌کند که خاک فیلتر نفوذپذیری و ظرفیت تخلیه کافی جریان را داشته باشد یعنی جریان تراوشی که از خاک مجاور فیلتر (خاک مبنا) وارد فیلتر می‌شود، باید بدون تجمع براحتی تخلیه گردد. بدین منظور بیان می‌کند که لازم است نفوذپذیری مصالح فیلتر بیش از ۱۰۰ برابر نفوذپذیری خاک مبنا باشد. همچنین اداره کشاورزی ایالات

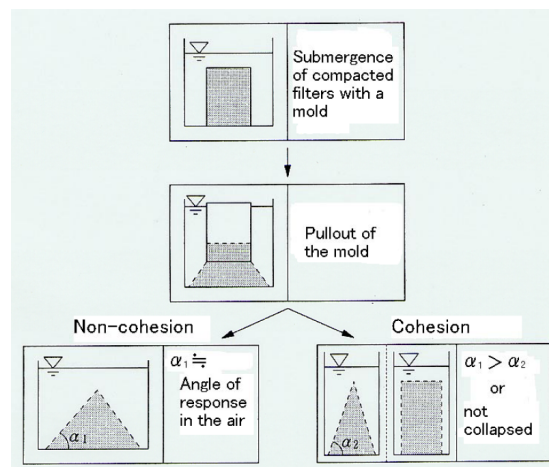
کنترل پایداری داخلی

علاوه بر معیارهایی که برای کنترل فرسایش و نفوذپذیری فیلتر وجود دارد، لازم است مصالح فیلتر در مورد پایداری داخلی کنترل شود.

تعداد محدودی روش برای بررسی کنترل پایداربودن داخلی پیشنهاد شده است که در میان آنها روش Kenney and Lau (1985) جزو جامع‌ترین آنها است. علت برتری این روش آن است که برای دامنه وسیعی از خاک‌های دانه‌ای ارائه شده و تقریباً در نوع خود بی‌رقیب است و بر همین اساس توسط کمیته بین‌المللی سدهای بزرگ (ICOLD) به عنوان روشی مطمئن پیشنهاد شده است.

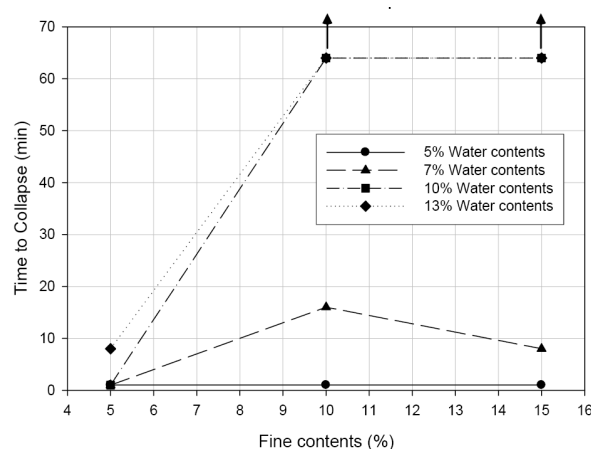
این روش با توجه به منحنی دانه‌بندی (D-F)، منحنی دیگری (H-F) که منحنی شکل خوانده می‌شود، را تولید می‌کند (شکل ۵). در صد عبوری متناظر با هر اندازه D، در منحنی دانه‌بندی می‌باشد و براساس آن پارامتر H، که درصدی از دانه‌ها که در محدوده اندازه D و ۴D قرار دارد، تعیین می‌گردد. اگر منحنی شکل تولید شده، در زیر خط معیار H=F واقع شود، در ناحیه پایدار خواهد بود و در غیر این صورت ناپایدار داخلی است. البته محدوده کنترلی برای خاک‌های مختلف متفاوت است. برای این منظور کنی و لو NG دو دسته خاک را معرفی کرده‌اند. گروه اول خاک‌های NG دارای ضریب یکنواختی کمتر از ۳ هستند و گروه دوم دارای ضریب یکنواختی بیشتر از ۳ بوده و WG (Widely Graded) خوانده می‌شوند. برای تشخیص پایداری و یا ناپایداری داخلی در خاک‌های دانه‌ای، محدوده صفر تا سی درصد H، برای خاک‌های NG و صفر تا بیست درصد H، و برای خاک‌های WG معیار کنترل می‌باشد. یعنی بسته به نوع خاک در محدوده تعیین شده از H، مقایسه میان منحنی شکل و خط H=F مشخص کننده پایداری است.

Vaughn and Soares (1982) ارائه شد می‌توان بهره گرفت. ICOLD این آزمایش را برای بررسی چسبندگی و خاصیت خود ترمیمی فیلتر توصیه کرده است.



شکل ۳- آزمایش قلعه ماسه‌ای (Sakamoto et al., 2002)

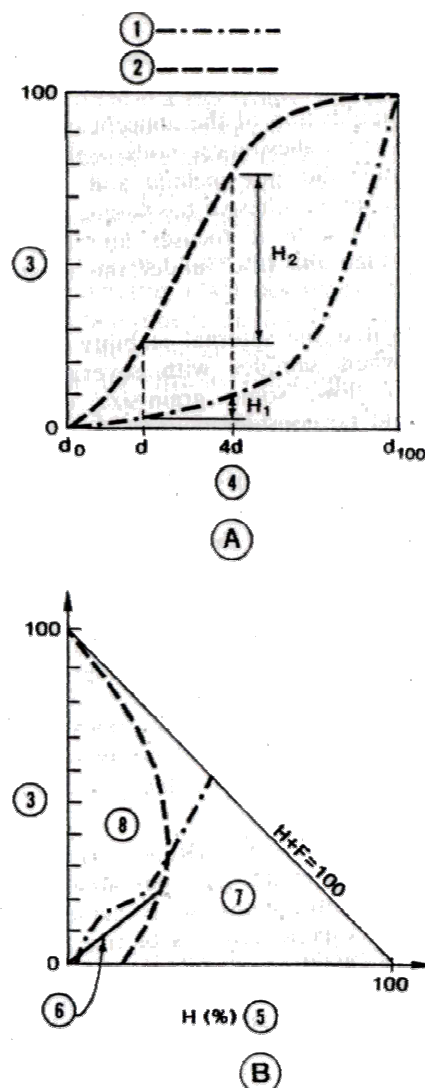
این آزمایش توسط Park (2003) به طور گسترده‌ای انجام شده است. وی نتایج آزمایش قلعه‌ماسه‌ای را تابع سه عامل چسبندگی ریزدانه، میزان مواد ریزدانه و میزان آب تراکمی می‌داند. وی نشان داد که نمونه‌های با مواد ریزدانه بدون خاصیت خمیری و تا ۱۵ درصد مواد ریزدانه فوراً ریزش می‌کنند و یا به عبارتی غیرچسبنده هستند. وی همچنین نتایج آزمایش‌ها بر روی فیلتر با خاصیت خمیری بالا (PI=40) را مطابق شکل ۴ ارائه نمود.



شکل ۴- نتایج آزمایش‌های بر روی مواد ریزدانه با خاصیت خمیری بالا؛ انجام شده توسط پارک (۲۰۰۳)

شده، به ۱۰ دسته مصالح یکنواخت بین الکهای "۴/۳" شد، به ۱۰ دسته مصالح یکنواخت بین الکهای "#۱۰ #۸۰ #۶۰ #۴۰ #۲۰ #۱۶ #۱۰ #۲۰۰ #۸۰ #۶۰ #۴۰ #۲۰ و #۸ توسط الک کردن و شستشو جدا شده است. سپس با ترکیب آنها با توجه به درصد وزنی مشخص، منحنی دانه‌بندی فیلتر مورد استفاده، تولید شده است. همچنین برای ریزدانه مورد استفاده در فیلترها از گرد سیلیس استفاده شده است. به دلیل اینکه اولاً خاک غیر خمیری بوده (آزمایش‌های قلعه ماسه‌ای انجام شده به وسیله (Park 2003) نشان دادند که فیلترها دارای تا ۱۵ درصد ریزدانه غیر خمیری، دارای استعداد ترک خورده‌گی نمی‌باشند) ثانیاً اینکه رنگ گرد سیلیس قابل تمایز از رنگ خاک مبنا می‌باشد. بنابراین برای بررسی عامل کدورت آب خروجی آزمایش NEF (شسته شدن فیلتر یا خاک مبنا) مناسب می‌باشد.

Lone et al. (2005) و همچنین یثربی و آزاد (۱۳۸۶) با بررسی معیارهای مختلف، نوعی عدم هماهنگی میان معیارهای موجود و نتایج برخی از آزمایش‌ها را نشان دادند. بنابراین دانه‌بندی فیلترهای مورد استفاده با توجه به نتایج چند آزمایش NEF اولیه، بر روی خاک مبنا تعیین شده است. به طوری که در این تحقیق از ۲ گروه فیلتر استفاده شده است. گروه اول شامل فیلترهای A1، A2 و A3 است، که دارای D₁₅ برابر ۰/۲۰ میلی‌متر می‌باشند و به ترتیب دارای ۰، ۵ و ۱۰ درصد عبوری از الک #۲۰۰ می‌باشد و منحنی دانه‌بندی آنها در شکل ۵ نمایش داده شده است. این گروه از فیلترها نماینده فیلترهای موفق می‌باشند. گروه دوم فیلترهای B1، B2، B3، B4 و B5 که دارای D₁₅ برابر ۰/۳۶ میلی‌متر می‌باشند و نماینده فیلترهای ناموفق می‌باشند که منحنی دانه‌بندی آنها در شکل ۷ نمایش داده شده است. خلاصه مشخصات دانه‌بندی و نفوذپذیری فیلترهای مورد استفاده در جدول ۲ ارائه شده است. همچنین در جدول ۳ و شکل ۸ مشخصات و منحنی دانه‌بندی خاک مبنا ارائه شده است.



A: منحنی دانه‌بندی، B: منحنی شکل، 1: فیلتر شماره ۱، ناپایدار داخلی، 2: فیلتر شماره ۲، پایدار داخلی، 3: درصد وزنی ریزتر، 4: اندازه دانه‌ها (d)، 5: H ، 6: مرز $H=F$ ، 7: پایدار، 8: ناپایدار

شکل ۵ - طریقه رسم و تشخیص پایداری داخلی (Kenney & Lou, 1985)

آزمایش‌های انجام شده در این تحقیق در این تحقیق از محل منابع قرضه یک سد خاکی در حال احداث، خاک مبنا انتخاب شده است. سپس آزمایش‌های مقدماتی شناسایی نظیر دانه‌بندی، هیدرومتری، حدود اتربرگ، تراکم استاندارد بر روی آنها انجام گرفت.

برای مصالح فیلتر، از ماسه شکسته استفاده شده است. برای اطمینان از دقت دانه‌بندی مورد استفاده، ابتدا مصالح تهیه

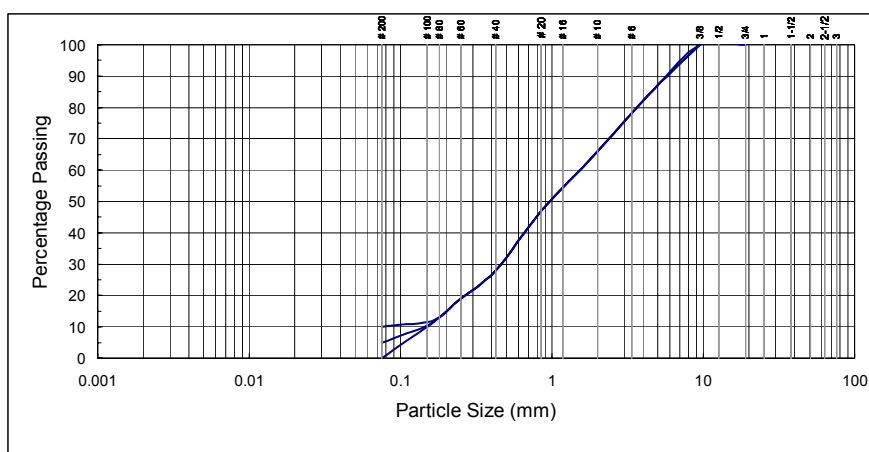
جدول ۲ - مشخصات فیلترهای مورد استفاده در آزمایش‌ها NEF

K (cm/s)	F_c (%)	D₅ (mm)	D₁₀ (mm)	D₁₅ (mm)	D₃₀ (mm)	D₆₀ (mm)	نام
۰/۰۱۳	۰	۰/۱۱	۰/۱۵	۰/۲۰	۰/۴۶	۱/۵۳	A1
۰/۰۰۵	۰	۰/۰۷۵	۰/۱۴	۰/۲۰	۰/۴۶	۱/۵۳	A2
۸۸-۵	۱۰	۰/۰۲	۰/۰۷۵	۰/۲۰	۰/۴۶	۱/۵۳	A3
۰/۰۴۸	۰	۰/۲۵	۰/۳۰	۰/۳۷	۰/۶۸	۲/۰۹	B1
۰/۰۳۵	۰	۰/۲۰	۰/۲۶	۰/۳۶	۰/۶۸	۲/۰۹	B2
۰/۰۳۳	۰	۰/۱۹	۰/۲۷	۰/۳۶	۰/۶۸	۲/۰۹	B3
۰/۰۲۴	۰	۰/۰۷۵	۰/۲۶	۰/۳۶	۰/۶۸	۲/۰۹	B4
۰/۰۳۴	۱۰	۰/۰۲	۰/۰۷۵	۰/۳۳	۰/۶۸	۲/۰۹	B5

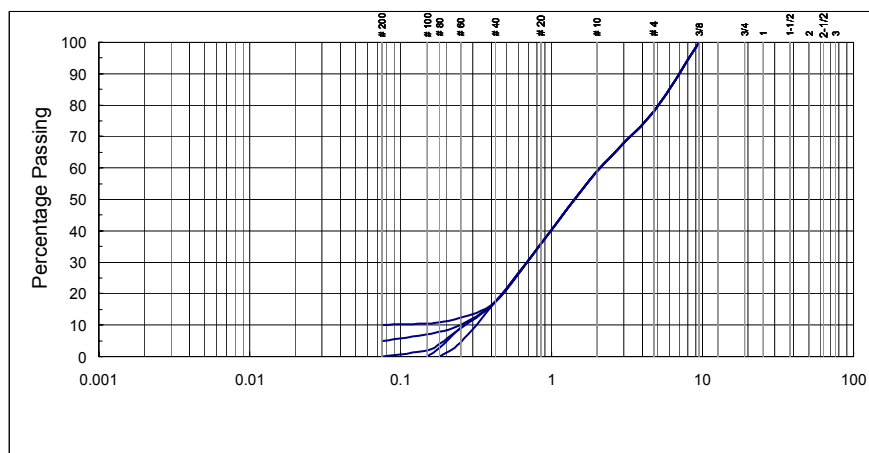
D₆₀ - D₃₀ - D₁₅ -D₁₀ D₅ : قطر نظیر ۱۰، ۱۵، ۲۰ و ۳۰ درصد عبوری

F_c : درصد عبوری از الک شماره #۲۰۰ در منحنی دانه‌بندی

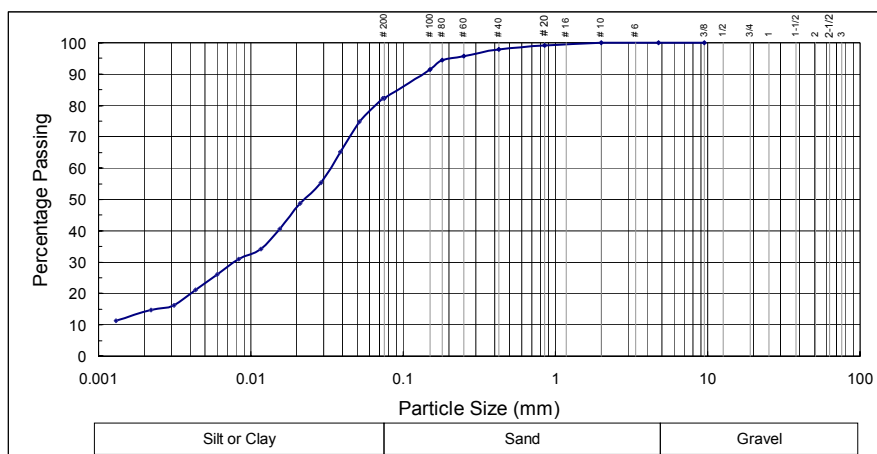
K: نفوذپذیری



شکل ۶- نمودارهای دانه‌بندی فیلترهای A1، A2 و A3



شکل ۷- نمودارهای دانه‌بندی فیلترهای B1، B2، B3، B4 و B5



شکل ۸- نمودار دانه‌بندی خاک مبنا مورد استفاده

جدول ۳ - مشخصات خاک مبنا در آزمایشات NEF

رنگ	F_c (%)	درصد رس	درصد سیلت	D_{95} (μm)	D_{85} (μm)
قهقهه‌ای مایل به سرخ	82	15	67	210	90
$\gamma_{d,\max}$ (gr/cm^3)	ω_{opt} (%)	LL (%)	PI (%)	K (cm/s)	
1.85	20	23	NPI	4E-7	

LL : Liquid Limit

PL : Plastic Limit

PI : Plastic Index

 γ_d : دانسیته ماکریم خشک ω_{opt} : درصد رطوبت بهینه

و پایین، در مقطع خاک مبنا نیز بررسی شده است. بدین

ترتیب بررسی میزان فرسایش و گشادشگی به مراتب دقیق‌تر

بررسی شده است.



شکل ۹- استفاده از واشر کاغذی و خمیر بتونیت به منظور

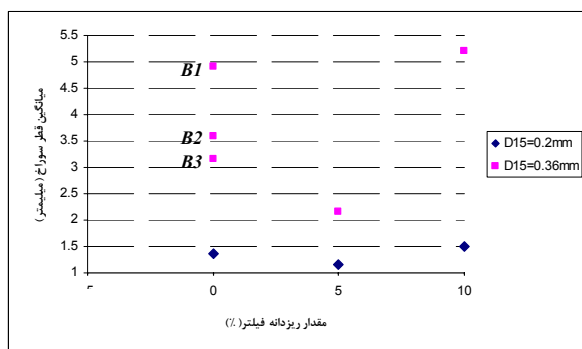
جلوگیری از اثر جدارهای

آزمایش فیلتر مانع فرسایش بر روی فیلترهای گروه A و B انجام شد. همچنین برای اطمینان از صحت و تکرارپذیری آزمایش‌ها، هر آزمایش ۲ تا ۳ مرتبه تکرار شده است. آزمون‌های NEF مشابه روش Sherard and Dunnigan (1989) انجام شده است ولی در جزئیات تفاوت‌هایی به شرح ذیل وجود دارد:

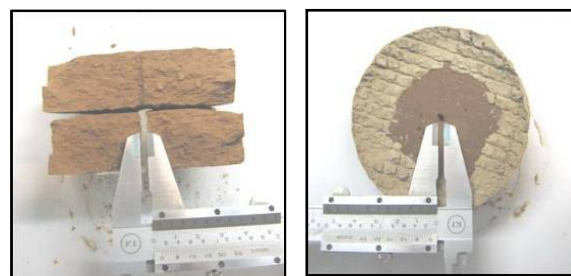
- به جای مصالح جدارهای که شرارد و همکاران در آزمایش‌های خود استفاده می‌کردند، مطابق شکل ۹ از واشر کاغذی و خمیر بتونیت استفاده شده است. زیرا در صورت استفاده از مصالح جدارهای احتمال مخلوط شدن آن با مصالح فیلتر وجود دارد و ممکن است، باعث تغییر عملکرد شود.

- برای بررسی دقیق‌تر تغییرات قطر سوراخ، بعد از انجام آزمایش، موم به داخل نمونه تزریق شده است و بعد از شکستن نمونه مطابق شکل ۱۰، تغییرات سوراخ علاوه بر بالا

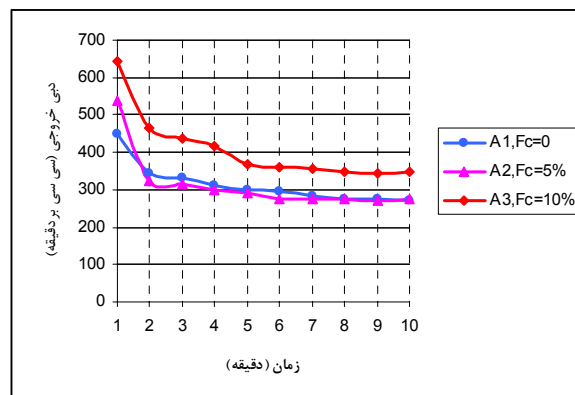
در جدول ۴ وضعیت کدورت آب خروجی در دقایق مختلف نشان داده شده است. همچنین در شکل ۱۳ نمودارهای میانگین قطر سوراخ در خاک مبنا در برابر مقدار مواد ریزدانه موجود در فیلتر، برای هر دو دسته فیلتر مورد استفاده، ترسیم شده است.



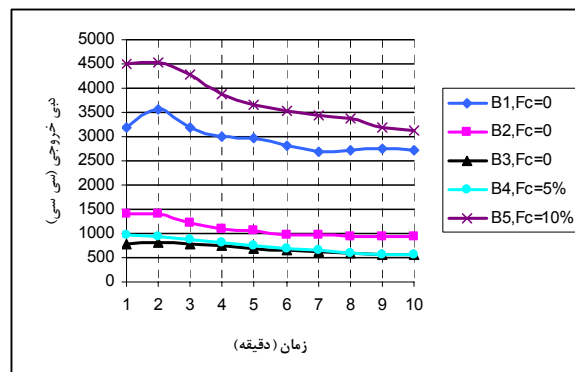
شکل ۱۳- میانگین قطر سوراخ در برابر مقدار مواد ریزدانه فیلتر



شکل ۱۰- بررسی گشاد شدگی قطر سوراخ در پلان و مقطع



شکل ۱۱- تغییرات دبی در طول آزمایش در فیلترهای سری A



شکل ۱۲- تغییرات دبی در طول آزمایش در فیلترهای سری B

جدول ۴- وضعیت کدورت آب خروجی در دقایق مختلف آزمایش

نام فیلتر	مقدار ریزدانه (%)	محدوده زمانی کاملاً کدر (min)	محدوده زمانی نسبتاً کدر (min)	محدوده زمانی نسبتاً کدر (min)	محدوده زمانی شفاف (min)
A1	۰	۱-۰	۳-۱	۵-۳	۱۱-۵
A2	۵	۱-۰	۴-۱	۸-۴	۱۱-۸
A3	۱۰	۲-۰	۵-۲	۱۱-۵	-
B1	۰	۱-۰	۲-۱	۲-۱	۱۱-۳
B2	۰	۱-۰	۲-۱	۲-۱	۱۱-۳
B3	۰	۱-۰	۲-۱	۲-۱	۱۱-۳
B4	۵	۳-۰	۷-۳	۷-۳	۱۱-۷
B5	۱۰	۱-۰	۲-۱	۲-۱	۱۱-۳

می باشد، به مراتب کمتر است. بنابراین بر خلاف بسیاری از معیارهای طراحی که تنها D_{15} فیلتر را مدنظر قرار داده‌اند، ذرات کوچک‌تر از D_{15} مانند مقادیر D_5 و D_{10} ، می‌توانند تأثیر قابل ملاحظه‌ای بر میزان فرسایش داشته باشند.

همچنین با توجه به شکل ۱۳، تا مقدار ریزدانه ۵ درصد، هر چه کوچک‌ترین اندازه فیلتر و ذرات ریزتر از D_{15} فیلتر، ریزتر باشد، فیلتر عملکرد بهتری از خود نشان می‌دهد. هنگامی که مقدار ریزدانه، در فیلتر دارای D_{15} برابر ۰/۳۶ میلی‌متر، به ۱۰ درصد افزایش پیدا می‌کند، افزایش ناگهانی در میزان فرسایش رخ می‌دهد. این افزایش ناگهانی در میزان فرسایش ناشی از ناپایداری داخلی فیلتر می‌باشد. به طوری که در بخش ۷ مشاهده شد که فیلتر B5 طبق روش Kenney and Lau (1985) ناپایدار داخلی می‌باشد.

همچنین با توجه به اینکه هر آزمایش ۲ تا ۳ مرتبه تکرار شده است، مشاهده شد که آزمایش NEF از نظر تغییرات قطر سوراخ، که مهم‌ترین خروجی آزمایش است، تکرارپذیری خوبی دارد.

تأثیر منحنی دانه‌بندی فیلتر بر میزان دبی و کدورت آب خروجی

تأثیر ریزدانه و ذرات کوچک‌تر از D_{15} بر میزان دبی و کدورت آب خروجی آزمایش NEF در شکل‌های ۱۱ و ۱۲ و جدول ۴ نمایش داده شده است. از آنجایی که مهم‌ترین خروجی آزمایش، تعیین افزایش قطر سوراخ یا توانایی فیلتر در جلوگیری از فرسایش می‌باشد، سایر خروجی‌ها مانند کدورت آب یا میزان دبی در زمان‌های مختلف به صورت عوامل کنترلی هستند. به طوری که میزان دبی خروجی به عواملی همچون میزان فرسایش یا افزایش قطر سوراخ، نفوذپذیری اولیه و تغییرات نفوذپذیری فیلتر در طی آزمایش وابسته است. بنابراین تغییرات دبی خروجی نیز نشان دهنده رفتار سیستم خاک-فیلتر می‌باشد.

نتایج آزمایش‌ها نشان می‌دهد مهم‌ترین عامل در میزان دبی آب خروجی، میزان قطر سوراخ (میزان فرسایش) می‌باشد. به طوری که طبق شکل ۱۲ در فیلتر B5 (دارای ۱۰ درصد

تحلیل نتایج

با توجه به مقدمات ذکر شده، هدف اصلی این تحقیق روش شدن تأثیرات میزان ریزدانه و ذرات کوچک‌تر از D_{15} موجود در فیلتر بر نتایج آزمایش NEF و عملکرد سیستم خاک-فیلتر می‌باشد. برای بررسی این عامل با توجه به ترکیبات مختلف منحنی دانه‌بندی تأثیرات این پارامتر بررسی شده است.

تأثیر منحنی دانه‌بندی فیلتر بر میزان فرسایش

بررسی تأثیر منحنی دانه‌بندی فیلتر بر نتایج آزمایش‌های NEF در دو بخش می‌تواند مورد بررسی قرار گیرد. بخش اول تغییرات کلی دانه‌بندی فیلتر است که از بررسی فیلترهای سری A با فیلترهای سری B نتیجه می‌شود. تغییرات کلی دانه‌بندی منحنی فیلتر (صرف‌نظر از مسئله پایداری داخلی) می‌تواند باعث تغییر در مقدار و اندازه حفرات موجود در فیلتر گردد و لذا این عامل به طور کاملاً مستقیم با میزان فرسایش خاک مبنا در ارتباط است. در نتیجه هرچه منحنی دانه‌بندی فیلتر درشت‌تر باشد، میزان حفرات منفذی آن بزرگ‌تر و در نتیجه میزان فرسایش در آن بیشتر است. به طوری که در شکل ۱۳ مشاهده می‌شود، میزان فرسایش در فیلترهای سری B به مراتب بیشتر از فیلترهای سری A می‌باشد. اما در بسیاری از تحقیقات انجام شده برای بررسی منحنی دانه‌بندی فیلتر و یا حفرات منفذی فیلتر، صرفاً به بررسی اثر پارامتر D_{15} فیلتر پرداخته شده است و کمتر به بررسی ذرات ریزتر از D_{15} فیلتر و ریزدانه عبوری از الک #۲۰ پرداخته شده است.

همان‌طور که در شکل ۱۳ نشان داده است، درصد ریزدانه و ذرات کوچک‌تر از D_{15} فیلتر می‌تواند تأثیر قابل ملاحظه‌ای بر عملکرد و راندمان فیلتر داشته باشد. با توجه به این شکل در حالتی که مقدار ریزدانه فیلتر در حدود ۵ درصد می‌باشد، فیلتر بهترین عملکرد را دارد. اما با توجه به اندازه D_{15} فیلتر، شدت این تغییر عملکرد، متفاوت است. یعنی در حالتی که D_{15} فیلتر برابر ۰/۲ میلی‌متر می‌باشد، شدت این تغییرات نسبت به حالتی که مقدار D_{15} فیلتر برابر ۰/۳۶ میلی‌متر

است. با توجه به اینکه دانه‌بندی فیلتر بر روی حفرات موجود در فیلتر و مقدار نفوذپذیری آن تأثیرگذار است، به طورکلی می‌توان گفت که هر چه نفوذپذیری فیلتر کمتر باشد، فیلتر عملکرد بهتری دربرابر کنترل فرسایش دارد. البته همان‌طور که قبله گفته شد، لازم است به حداقل نفوذپذیری فیلتر توجه شود. در مورد اثر مقدار ریزدانه بر نفوذپذیری فیلتر مشاهده می‌شود که در فیلترهای سری A، افزایش درصد ریزدانه باعث کاهش شدید نفوذپذیری در فیلتر شده است. در فیلتر سری B افزایش ریزدانه در ابتدا باعث کاهش نفوذپذیری (البته با شدت بسیار کمتر نسبت به فیلتر سری A) شده است ولی افزایش مقدار ریزدانه از ۵ درصد به ۱۰ درصد، باعث افزایش نفوذپذیری فیلتر شده است. بنابراین مقدار ریزدانه موجود در فیلتر می‌تواند اثر قابل ملاحظه‌ای بر نفوذپذیری آن داشته باشد. در B4 مورد تأثیر مقدار ریزدانه در نفوذپذیری فیلترهای B1 تا D15 مشاهده می‌شود که هرچه ذرات ریزتر از D15 کوچک‌تر باشد، مقدار نفوذپذیری کاهش می‌یابد. بنابراین بر مبنای مقایسه شکل ۱۳ و جدول ۲ هر چه مقدار نفوذپذیری کاهش پیدا کند، میزان فرسایش خاک مینا (قطر سوراخ) در آزمایش NEF کمتر می‌شود. در فیلتر B5 وجود ۱۰ درصد ریزدانه باعث ایجاد ناپایداری داخلی آن شده است و در نتیجه میزان فرسایش افزایش یافته است. به طوری که طبق شکل ۱۴ مشاهده شد، فیلتر B5 طبق روش Kenney and Lau (1985) ناپایدار داخلی می‌باشد. منحنی دانه‌بندی این فیلتر در ذرات بزرگ‌تر از D15 مشابه فیلترهای B1 الی B4 می‌باشد، بنابراین نتیجه می‌شود، افزایش ریزدانه علت ناپایداری داخلی فیلتر آزمایش نفوذپذیری نیز مشاهده می‌شود به طوری که طبق مقایسه مقادیر نفوذپذیری فیلترهای B4 و B5، افزایش ریزدانه از ۵ درصد به ۱۰ درصد، باعث افزایش نفوذپذیری فیلتر شده است، که حاکی از ناپایداری داخلی فیلتر B5 می‌باشد.

بررسی معیارهای طراحی فیلتر
فیلترهای سری A و B دارای D₁₅ به ترتیب برابر ۰/۲۰ و ۰/۳۶ میلی‌متر می‌باشد و مقدار D_{15Filter} / D_{85Base} سری A

ریزدانه) بیشترین مقدار فرسایش (قطر سوراخ) و بیشترین میزان دبی خروجی به طور همزمان رخ داده است. لازم به توضیح است که تکرارپذیری آزمایش NEF در مورد میزان دبی خروجی ایده‌آل نمی‌باشد که با توجه به طبیعت ناهمگن خاک و ایجاد جریان‌های بحرانی، این موضوع طبیعی می‌باشد. بنابراین در کلیه نمودارهای ارائه شده، از میانگین نتایج استفاده شده است.

تغییر کدورت و زمان شفاف شدن آب خروجی، به میزان فرسایش خاک مینا و شسته شدن ریزدانه موجود در فیلتر وابسته است. همچنین تغییرات کدورت آب خروجی در طول آزمایش نشان دهنده نرخ فرسایش در طول آزمایش می‌باشد. همان‌طور که در جدول ۴ مشاهده می‌شود، از آنجایی که در کلیه آزمایش‌ها کدورت آب خروجی در دقایق ابتدایی آزمایش بسیار بیشتر از سایر دقایق می‌باشد، بیشترین مقدار فرسایش در لحظات ابتدایی آزمایش رخ داده است. همچنین در این آزمایش‌ها برای مشخص شدن نقش ریزدانه فیلتر در کدورت آب خروجی، از گرد سیلیس که رنگ آن متفاوت از خاک مینا می‌باشد، استفاده شده است. با توجه به جدول ۴ مشاهده می‌شود که ریزدانه موجود در فیلتر تأثیر قابل توجه بر کدورت آب خروجی دارد، به طوری که در فیلتر دارای ۱۰ درصد ریزدانه، آب خروجی حتی در لحظات انتهایی کاملاً شفاف نمی‌شود. همچنین عامل دیگر در تغییر کدورت آب خروجی، میزان دبی خروجی می‌باشد. به طوری که اگرچه مقدار ریزدانه فیلتر B4 نصف ریزدانه فیلتر B5 است، اما به دلیل کم بودن دبی خروجی نسبت به فیلتر B5، ریزدانه موجود در آن به تدریج شسته شده است و باعث کدورت بیشتر آب خروجی در دقایق ابتدایی آزمایش شده است. به عبارت دیگر هر چه دبی آب خروجی بیشتر باشد، ریزدانه موجود در فیلتر سریعتر شسته می‌شود و می‌تواند باعث سریعتر شفاف شدن آب خروجی گردد.

تأثیر نفوذپذیری فیلتر بر نتایج آزمایش‌ها
در این تحقیق با توجه به مقدار نفوذپذیری فیلترهای مورد استفاده، تأثیر میزان نفوذپذیری بر عملکرد فیلتر بررسی شده

توجه به نتایج آزمایش‌ها، هرچه ذرات کوچک‌تر از D_{15} ریزتر باشند (نه در حدی که ریزتر از الک #۲۰۰ باشند) می‌توانند به طور قابل توجهی باعث بهبود راندمان فیلتر شوند. این مسئله بر خلاف معیارهای موجود، صرفاً اندازه D_{15} فیلتر را ملاک عملکرد فیلتر قرار داده است. بنابراین کاراترین روش برای طراحی و بررسی عملکرد فیلتر انجام آزمون‌های آزمایشگاهی می‌باشد.

- در فیلتر موفق، وجود مواد ریزدانه تا حد ۱۰ درصد، تأثیر چندانی بر عملکرد کنترل فرسایش فیلتر در آزمایش NEF ندارد، اما می‌تواند سبب کاهش شدید نفوذپذیری فیلتر شود.
- در فیلتر ناموفق، وجود ۵ درصد مواد ریزدانه، ضمن اینکه تأثیر قابل ملاحظه‌ای بر نفوذپذیری فیلتر ندارد، می‌تواند باعث بهبود قابل توجه عملکرد فیلتر در آزمایش NEF شود. اما وجود مواد ریزدانه بیشتر (تا حد ۱۰ درصد) می‌تواند باعث ناپایداری داخلی مصالح فیلتر شده و باعث افت شدید در عملکرد فیلتر گردد.

- با توجه به کثرت عوامل مؤثر در طراحی فیلتر، بهترین روش برای طراحی و کنترل کارآبی فیلتر، انجام آزمون‌های آزمایشگاهی می‌باشد. البته باید توجه داشت که نگارندگان قصد حذف یا تخفیف در معیار میزان ریزدانه برای سدها را ندارند بلکه اظهار می‌دارند که فیلترهایی که دارای مواد ریزدانه بیش از ۵ درصد می‌باشند، با انجام کلیه آزمایش‌ها و اطمینان از عملکرد آزمایشگاهی آنها می‌توانند به عنوان یک گزینه (در مواردی که ترک‌خوردگی فیلتر مطرح نمی‌باشد) استفاده شوند.

- مهمترین پارامتر خروجی آزمایش NEF تغییرات قطر سوراخ می‌باشد و قضاوت اصلی بر اساس آن صورت می‌گیرد.

اما توجه به پارامترهای خروجی دیگر مانند تغییرات دبی آب خروجی، در کمک به قضاوت ضروری می‌باشد، به‌طوری که غالباً هرچه افزایش قطر سوراخ بیشتر باشد، میزان دبی آب خروجی بیشتر می‌شود. ولی تکرار آزمایش NEF، از نظر میزان دبی خروجی، خیلی ایده‌آل نمی‌باشد.

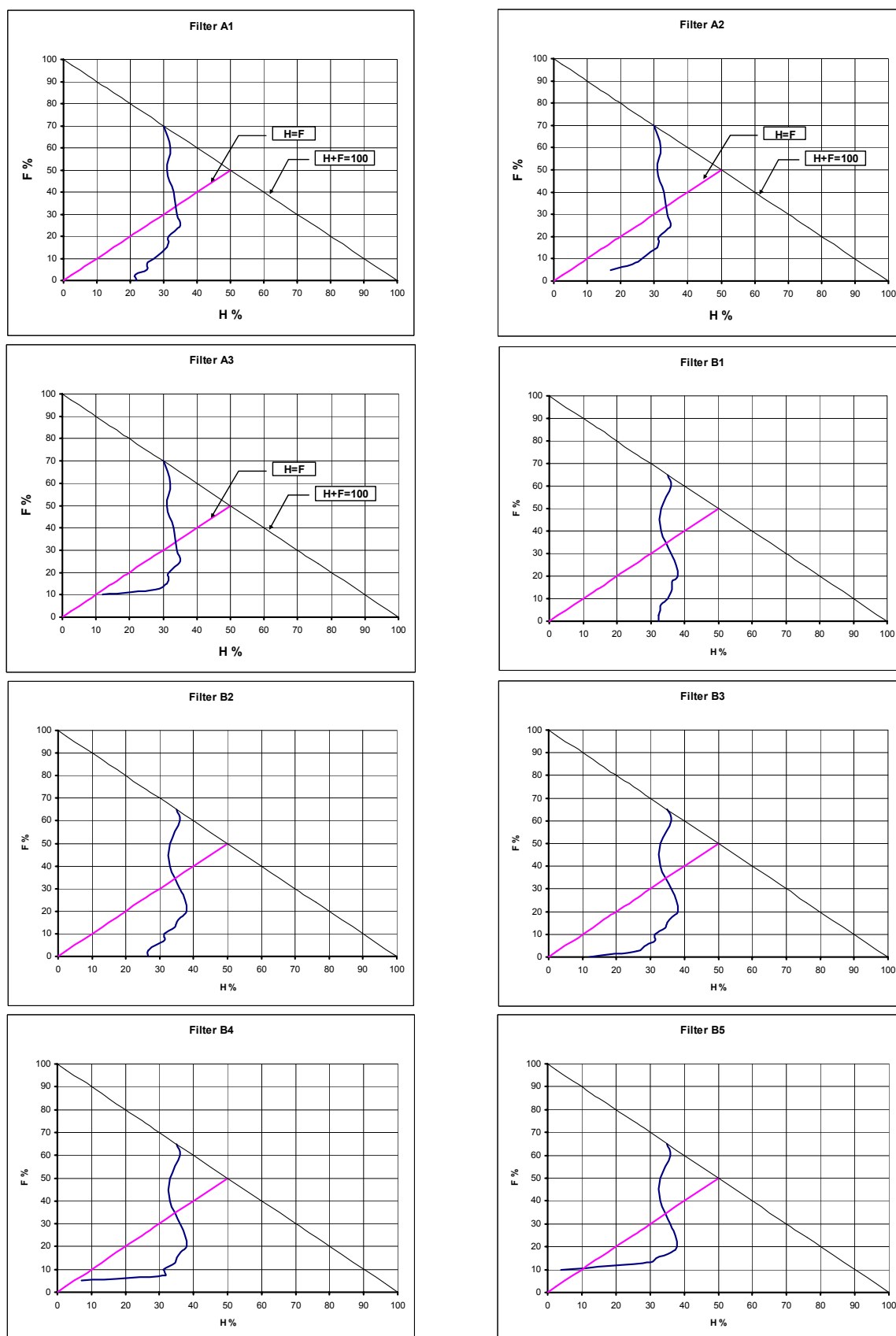
و B به ترتیب برابر ۲/۲ و ۴ می‌باشد. بنابراین با توجه به معیارهای ارائه شده در جدول ۱ در هر دو فیلتر A و B نسبت به خاک مبنای این معیار برآورده شده است. البته برای فیلترهای سری B این نسبت در حالت مرزی معیار Indrartna et al. (1996) قرار دارد و با وجود اینکه این نسبت برای همه آنها برابر می‌باشد ولی میزان فرسایش در آنها دارای اختلاف زیادی می‌باشد. به‌طوری که در معیار آنها لازم است نسبت $D_{15Filter} / D_{85Base}$ کوچک‌تر از ۴ الی ۵ باشد. البته همان‌طور که قبلاً بیان شد، علت فرسایش زیاد در فیلتر B5 ناپایداری داخلی آن می‌باشد ولی از مقایسه فیلترهای B1 و B4 مشاهده می‌شود که علیرغم تاثیر زیاد ذرات کوچک‌تر از D₁₅ این عامل در هیچ کدام از معیارها و حتی مرزهای مختلف فرسایش که توسط Foster and Fell (2001) ارائه شده، مدنظر قرار نگرفته است.

در مورد معیارهای نفوذپذیری، D₁₅ فیلترهای سری A و $D_{15Filter} / D_{15Base}$ بزرگ‌تر از ۱۰ میلی‌متر است. همچنین مقدار سری A و B به ترتیب برابر ۷۵ و ۱۳۰ می‌باشد، بنابراین با توجه به بخش ۴ کلیه معیارهای دانه‌بندی در رابطه با نفوذپذیری بجز معیار حداکثر میزان ریزدانه، رعایت شده است. همچنین با توجه به تحقیقات Park (2003) از آنجایی که ریزدانه فیلترها غیرخمیری و کمتر از ۱۵٪ است، دارای پتانسیل ترک‌خوردگی نیستند و نفوذپذیری فیلتر به نفوذپذیری خاک مبنای برای کلیه فیلترها بجز فیلتر A3 به مراتب بزرگ‌تر از ۱۰۰ می‌باشد. این نسبت برای فیلتر A3 در حدود ۲۰۰ می‌باشد. بنابراین افزایش ریزدانه در فیلترهایی که از نظر کنترل فرسایش عملکرد مناسبی دارند، می‌تواند باعث عدم ارضای معیار نفوذپذیری شود.

نتیجه‌گیری

با توجه به نتایج تحلیل آزمایش‌ها نتایج این تحقیق عبارتنداز:

- ذرات کوچک‌تر از D₁₅ و وجود ریزدانه در فیلتر می‌توانند تأثیر قابل توجهی بر عملکرد و راندمان فیلتر داشته باشند. با



شکل ۱۴- آنالیز پایداری داخلی طبق روش Kenney and Lau (1985)

دارد. بنابراین نمی‌توان از این عامل به طور مستقیم در پیش‌بینی عملکرد فیلتر استفاده کرد.

تشکر و سپاس

این کار تحقیقاتی با حمایت معاونت امور پژوهشی سازمان مدیریت منابع آب ایران (دفتر امور پژوهشی و پشتیبانی علمی) انجام شده است و نویسندها کمال قدردانی و سپاسگزاری را از سازمان فوق دارند.

- تغییرات کدورت آب خروجی در آزمایش‌ها با فیلتر بدون مواد ریزدانه نشان داد که بخش اعظم فرسایش در دقایق ابتدایی آزمایش رخ می‌دهد. تغییرات کدورت آب خروجی در آزمون‌هایی که در آنها از فیلتر دارای مواد ریزدانه استفاده شده است، نشان داد که بخش زیادی از کدورت آب در دقایق ابتدایی آزمایش، ناشی از ریزدانه موجود در فیلتر می‌باشد و شفاف شدن آب خروجی بستگی به میزان دبی آب خروجی

منابع

سروش، ع. و طباطبائی شوریجه، پ. ۱۳۸۵، خبرنامه انجمن ژئوتکنیک، دوره جدید، شماره ۶، مهرماه ۱۳۸۵.
یثربی، س.ش. و آزاد، ع. ۱۳۸۶، مطالعه آزمایشگاهی کارایی فیلتر بر اساس معیارهای طراحی در سدهای خاکی، مجله بین‌المللی علوم مهندسی دانشگاه علم و صنعت، شماره ۲، جلد ۱۸، صفحات ۹۹ الی ۱۱۰.

- Fell, R., Wan, C.F, Cyganiewicz, J. and Foster, M. 2003. Time for Development of Internal Erosion and Piping in Embankment Dams. *Journal of Geotechnical And Geoenviromental Engineering*, ASCE, April, pp. 307-314.
- Foster, M., and Fell, R. 2001. Assessing Embankment Dam Filters That Do Not Satisfy Design Criteria. *Journal of Geotechnical and Geoenvironmental Engineering Division*, ASCE, pp.398-407.
- ICOLD (1994), Embankment Dams Granular Filters and Drains, Bulletin No. 95.
- Indraratna, B., Vafai, F., and Dilema, E. 1996. An experimental study of the filtration of a lateritic clay slurry by sand filters. *Proceedings of the ICE - Geotechnical Engineering*, 119, 75-83.
- Kenney, T.C. and Lau, D. 1985. Internal Stability of Granular Filters. *Canadian Geotechnical Journal*, 22:215-225.
- Lone, M.A., Hussain, B. and Asawa, G.L. 2005. Filter Design criteria For Graded Cohesionless Bases. *Journal of Geotechnical and Geoenvironmental Engineering Division*, ASCE, pp.251-259.
- Park Y. 2003. Investigation of the Ability of Filters to Stop Erosion through Cracks in Dam. PhD Thesis in Civil Engineering Virginia Polytechnic Institute and State University.
- Sakamoto, T., Yamaguchi,Y. and Satoh, H. 2002. Identification of Non-cohesive Filters to Prevent Migration of Impervious Materials for Embankment Dams due to Large Earthquakes (fault movement). The 22nd USSD Annual Meeting and Conference Pre-Conference Workshop 3rd U.S.-JAPAN Workshop on Advanced Research on Earthquake Engineering for Dams.
- Sherard, J.L., Dunnigan, L.P. and Talbot, J.P. 1984. Basic properties of sand and gravel filters. *Journal of Geotechnical Engineering*, 110(6): 684-700.
- Sherard, J.L. and Dunnigan, L.P. 1989. Critical Filters for Impervious Soils. *Journal of Geotechnical Engineering*, 115(7): 927-947.
- U.S Department of Agriculture (USDA). 1994. Gradation Design of Sand and Gravel Filters. Chapter 26, National Engineering Handbook, Part 663, Soil Conservation Service, Washangton, D,C.
- U.S. Department of the Interior Bureau of Reclamation (USBR) 1994. Design Standards No.13: Embankment Dams. Chapter 5 – Protective Filters, United States Department of the Interior Bureau of Reclamation, Technical Service Center, Denver, CO.
- Vaughn R. and Soares F. 1982. Design of Filters For Clay Cores of Dam. *Journal of the Geotechnical Engineering*, ASCE, Vol.108, No.GT1, PP.17-31.
- Yasrobi, S.S. and Azad, A. 2004. Assessment of Granular Filter Functioning in Embankment Dams. Proceeding of International Conference on Soil properties and Processes, Eurosoil, Germany